

# Synthèse d'images

## (8) Coloriage réaliste

### *Plan de l'exposé*

**0. Un peu de physique**

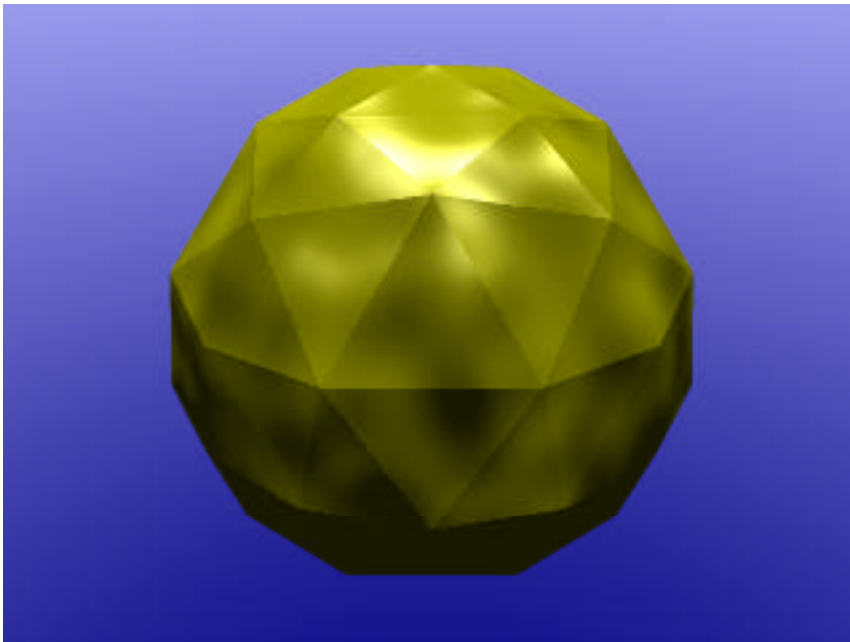
**1. Coloriage à plat**

**2. Interpolation de Gouraud**

**3. Modèle de Phong**

**4. Microfacettes**

**5. Textures**



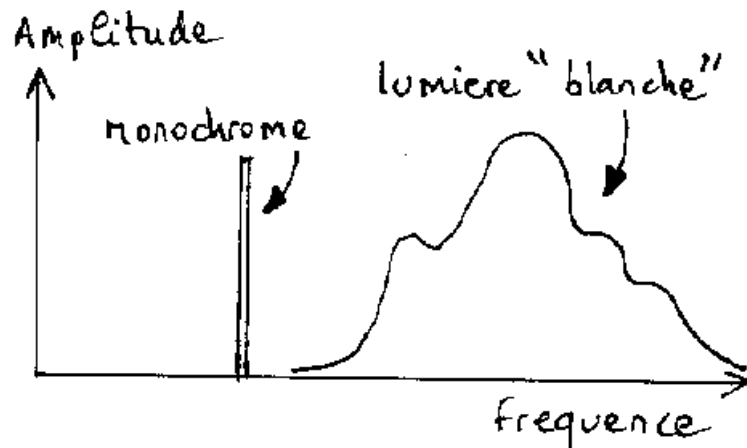
# Un peu de physique...

- Couleur des corps diffusifs : 3 paramètres

- Le spectre de la lumière qu'il reçoit
- Les propriétés d'absorption du corps
- Les propriétés de perception de l'oeil

- Source lumineuse

- Spectre d'émission :



- Source ponctuelle ou non => cohérence spatiale

- Interaction lumière / objet

- une partie de la puissance lumineuse reçue est absorbée par l'objet et convertie en chaleur

- une partie est réfléchie par la surface

- le reste est transmis à l'intérieur de l'objet (réfraction)

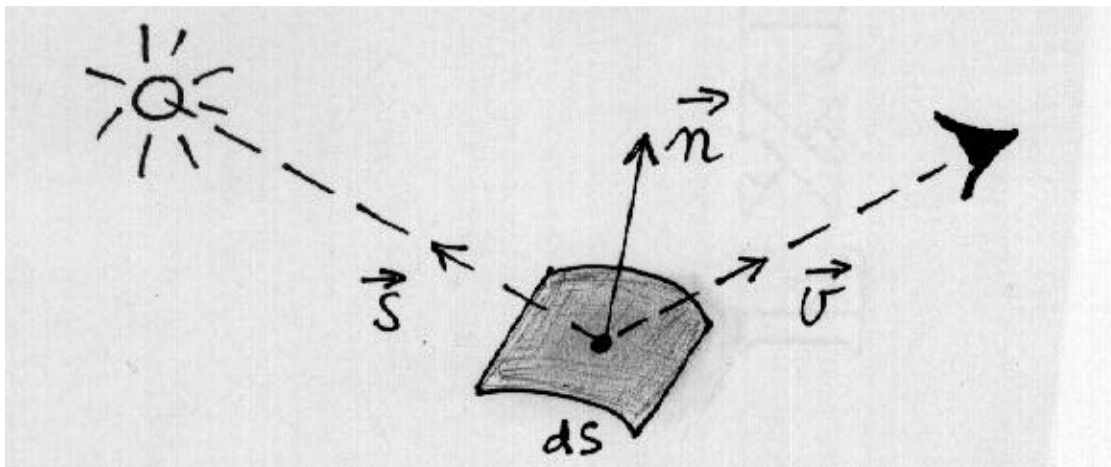
- Lumière ambiante : produit des multiples réflexions dans la scène

- Deux types de réflexion :

Diffuse : La surface de l'objet "réagit". La lumière est ré-émise dans toutes les directions. Sa couleur est affectée.

Spéculaire : La surface de l'objet ne "réagit" pas. La lumière est ré-émise selon l'angle d'incidence. Sa couleur n'est pas affectée.

Les 2 composantes sont toujours plus ou moins présentes (exemple : papier aluminium)



- Loi de Lambert pour la réflexion diffuse

$I_{diff}$  = Intensité réfléchie

$I_p$  = Intensité de la source ponctuelle

$K_d$  = coefficient de réflexion diffuse du matériau

$$I_{diff} = I_p K_d (\vec{n} \cdot \vec{s}) = I_p K_d \cos \theta$$

Si la source est infiniment loin,  $I_p$  est constant pour toute la surface éclairée.

Sinon : facteur (empirique) d'atténuation de  $I_p$  en fonction de la distance

$$D : I_p = \min\left(1, \frac{1}{a + bD + cD^2}\right)$$

# Bibliographie

- P.Léna, A. Blanchard "Lumières, une introduction aux phénomènes optiques" InterEditions, 1990.

Excellente introduction à la physique de la lumière. Niveau 1ère année DEUG ?

- M. Minnaert "The nature of light and color in the open air", Dover, 19??

Moins mathématique que le précédent.  
Arcs en ciel, mirages, halos...

- B. Maitte "La lumière" collection "Points science", Seuil, 1981

Introduction à l'histoire des théories concernant la lumière et plus largement au monde physique. Très clair.

- V. Ronchi "L'optique, science de la vision", Masson, 1966

Un classique de l'histoire de l'optique, mais un peu vieilli (par rapport aux travaux de G. Simon par ex.)

SURTOUT :

- P. Callet "Couleur-lumière, couleur-matière" Diderot 1998

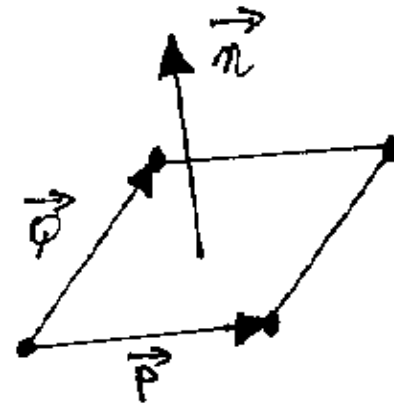
Interaction lumière-matière et synthèse d'images

# 1. Le coloriage à plat ("flat shading") Bouknight 1970

- On utilise la loi de Lambert. L'intensité réfléchie est calculée pour chaque face et supposée constante pour toute la surface du polygone.

- L'approximation est valide si
  - la source est infiniment loin
  - l'observateur aussi, ou bien si la surface n'est pas réfléchissante

- Calcul de la normale à la face :  
On utilise le produit vectoriel (cf. chapitre 6)



$$\vec{N} = \vec{P} \circ \vec{Q} \quad N = P \cdot Q \cdot \sin \theta$$

$$x_N = y_P \cdot z_Q - z_P \cdot y_Q$$

$$y_N = z_P \cdot x_Q - x_P \cdot z_Q$$

$$z_N = x_P \cdot y_Q - y_P \cdot x_Q$$

- Les vecteurs N et S sont ensuite normalisés

# Reprise de l'algorithme

- On ajoute des structures de données

```
double IN[MAXFACES];          /* intensite des faces */
double LUM[3] = {0.0,10.0,0.0}; /* position source
de lumiere */
```

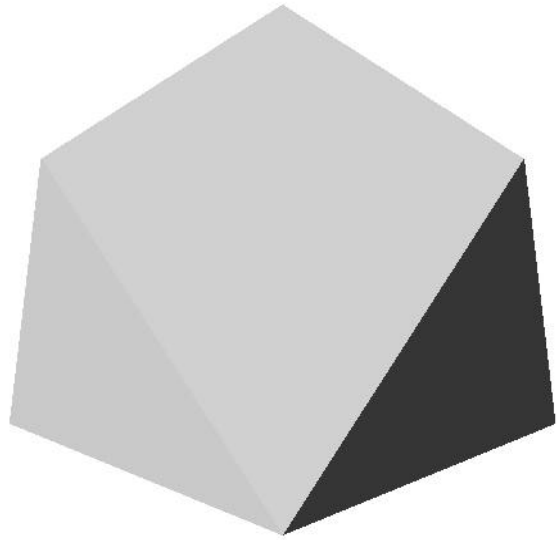
- Calcul de l'intensité recue par les faces (après le test de visibilité)

```
for (i=0;i<NB;i++)
{
    px=LUM[0]-OB[i][0][0];
    py=LUM[1]-OB[i][0][1];
    pz=LUM[2]-OB[i][0][2];
    nn=sqrt(px*px+py*py+pz*pz);
    px/=nn;py/=nn;pz/=nn;
    IN[i]=px*NO[i][0]+py*NO[i][1]+pz*NO[i][2];
    /* résultat entre -1 et +1 */
    IN[i]=(IN[i]+1)/2; /* valeur finale entre 0 et 1 */
}
```

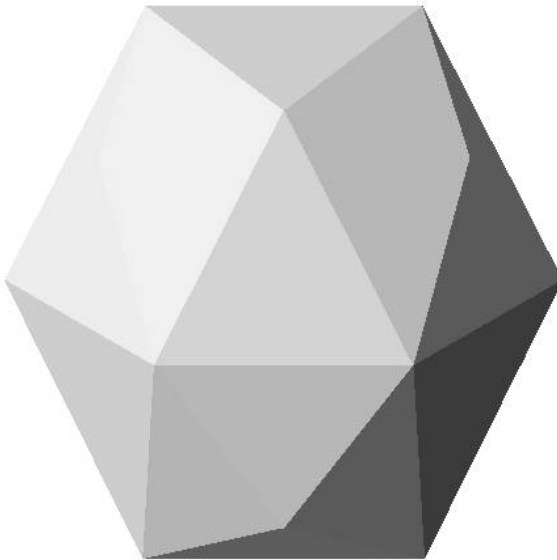
- On ne dessine que les faces visibles

```
for (i=0;i<NB;i++)
{
    if (VI[i]>0) {
        printf("newpath\n");
        printf("%.5f setgray\n",IN[i]);
        printf("%.5f %.5f
moveto\n",O2[i][0][0],O2[i][0][1]);
        printf("%.5f %.5f
lineto\n",O2[i][1][0],O2[i][1][1]);
        printf("%.5f %.5f
lineto\n",O2[i][2][0],O2[i][2][1]);
        printf("%.5f %.5f
lineto\n",O2[i][0][0],O2[i][0][1]);
        printf("fill\n");
        printf("newpath\n");
        printf("0 setgray\n",IN[i]);
        printf("%.5f %.5f
moveto\n",O2[i][0][0],O2[i][0][1]);
        printf("%.5f %.5f
lineto\n",O2[i][1][0],O2[i][1][1]);
        printf("%.5f %.5f
lineto\n",O2[i][2][0],O2[i][2][1]);
        printf("%.5f %.5f
lineto\n",O2[i][0][0],O2[i][0][1]);
        printf("stroke\n");
    }
}
```

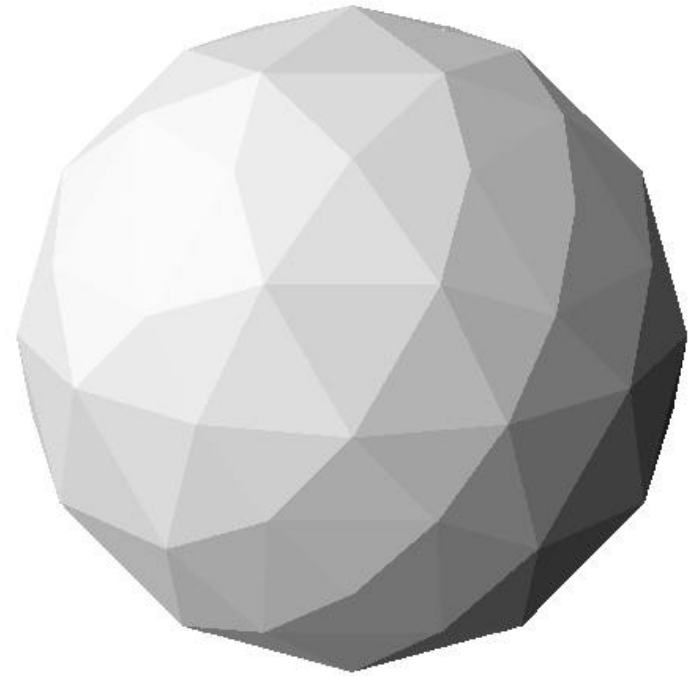
# Résultats



Niveau 1

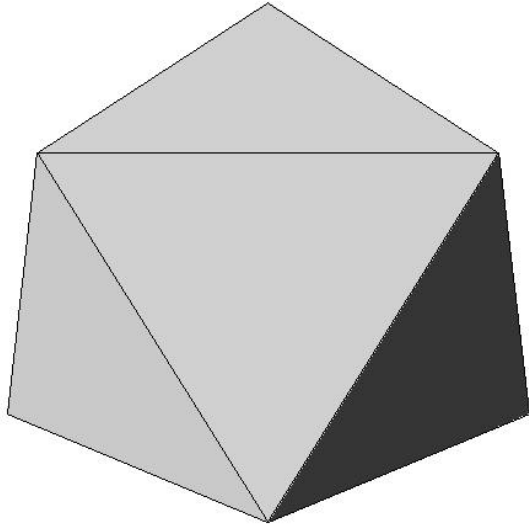


niveau 2

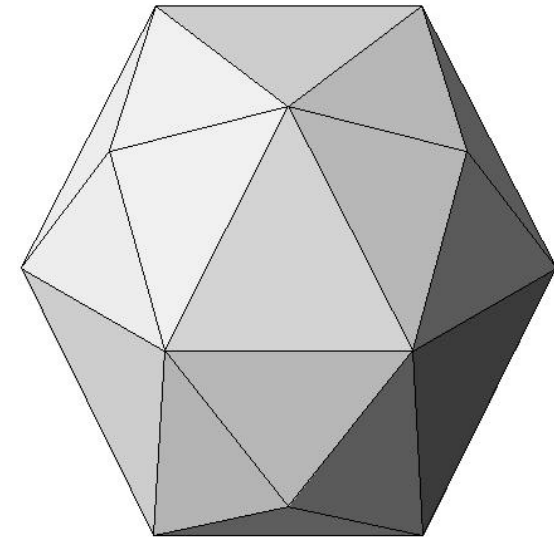


Niveau 3

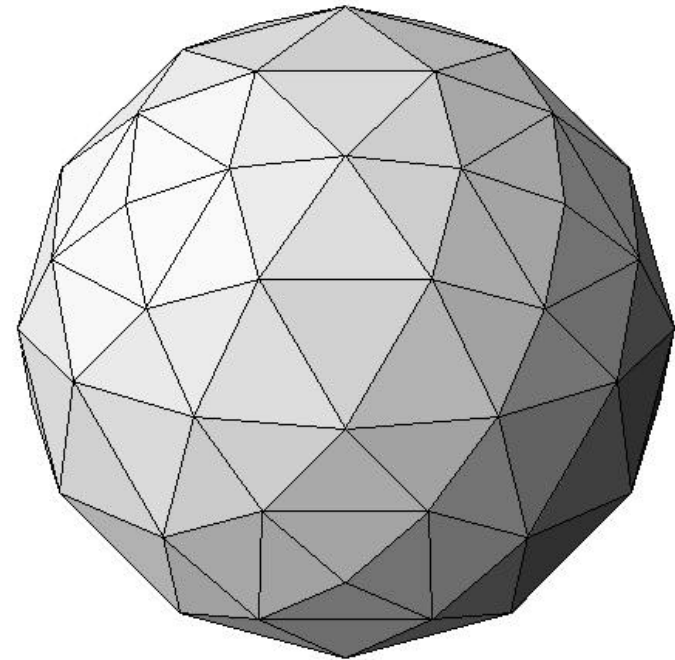
# Renforcement des contours



Niveau 1



Niveau 2 et 3

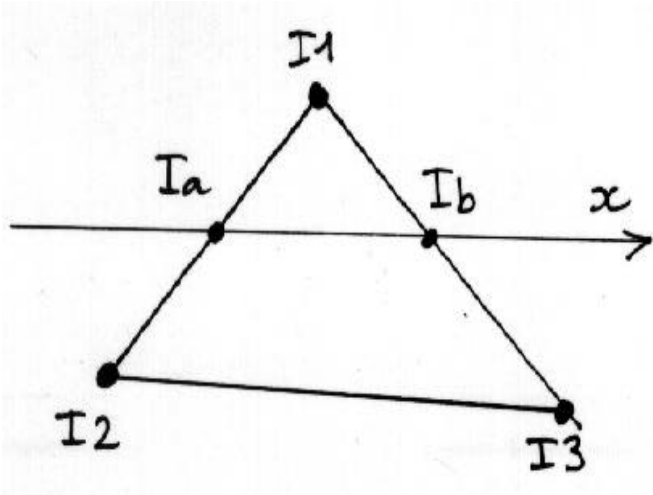




# 2. Interpolation de Gouraud "Gouraud shading" (1971)

Principe : interpolation linéaire de l'intensité pour éliminer les discontinuités

Une technique similaire à l'interpolation de la profondeur pour le Z-Buffer :

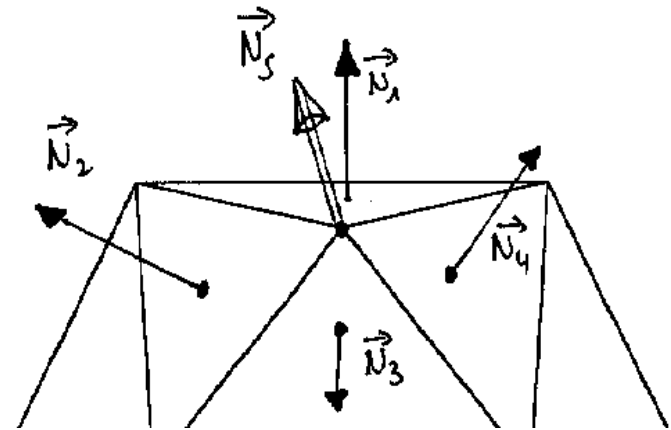


$$I_a = I_1 - (I_1 - I_2) \frac{y_1 - y_s}{y_1 - y_2}$$

$$I_b = I_1 - (I_1 - I_3) \frac{y_1 - y_s}{y_1 - y_3}$$

$$I_p = I_b - (I_b - I_a) \frac{x_b - x_p}{x_b - x_a}$$

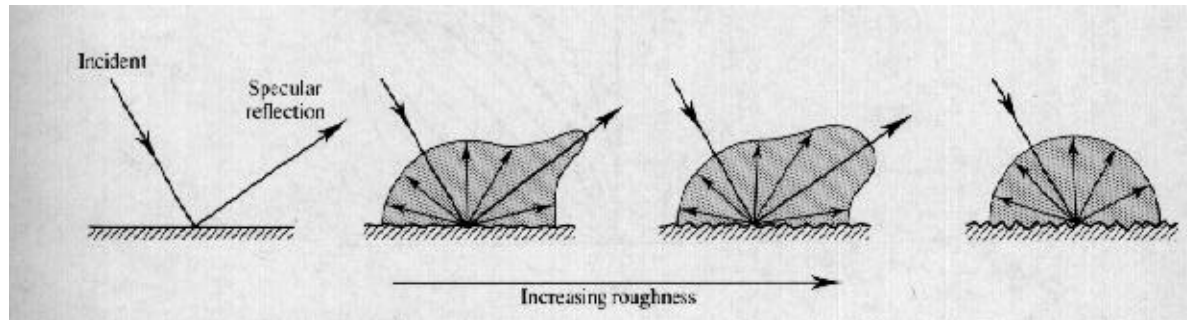
L'intensité aux sommets est obtenue par interpolation des normales des faces adjacentes.



$$\vec{N}_s = \frac{\vec{N}_1 + \vec{N}_2 + \vec{N}_3 + \vec{N}_4}{\|\vec{N}_1 + \vec{N}_2 + \vec{N}_3 + \vec{N}_4\|}$$

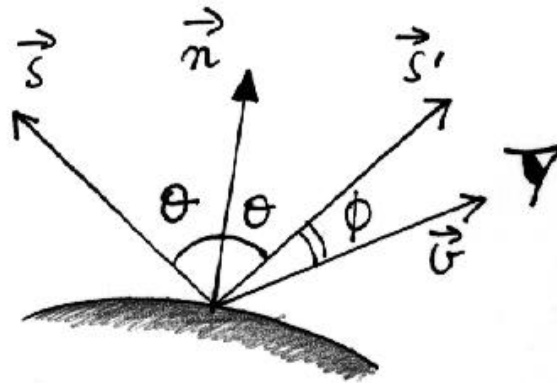
# 3. Modèle de Phong Bui-Tuong (1975)

- Prise en compte de la réflexion spéculaire, variable selon le matériau



[WATT] p. 53

- On doit ici tenir compte de la position de l'observateur :



- Modèle (empirique) retenu :

$$I_{spec} = I_P \cdot K_S \cdot \cos^n \phi \quad \text{donc} \quad I_{total} = I_{diff} + I_{spec} = I_P (K_d \cos \theta + K_S \cos^n \phi)$$

# Exemples avec POV

Option de rendu :

```
finish { phong Ks phong_size n } avec 0 Ks 1 et 1 n 256
```

Résultat avec la pseudo-sphère (niveau 3) :



(sans)



Ks = 1 et N = 5

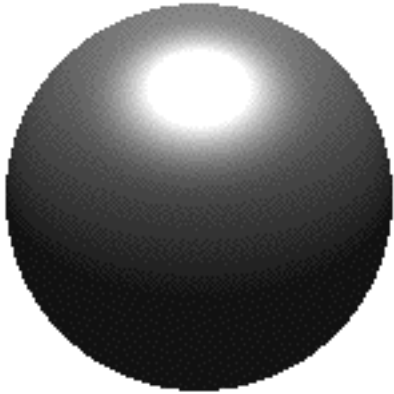


Ks = 1 et N = 10

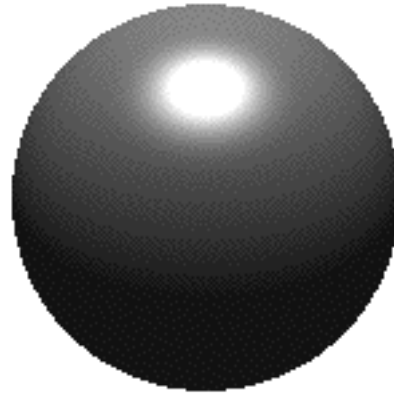


Ks = 1 et N = 50

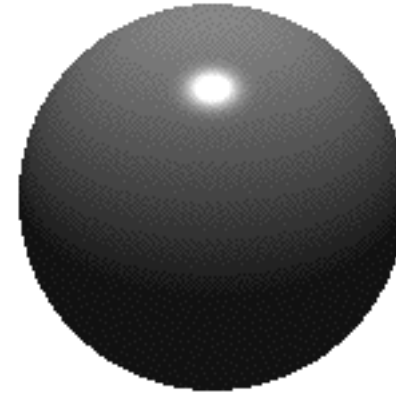
- Résultat avec une sphère



$K_s = 1$  et  $N = 5$

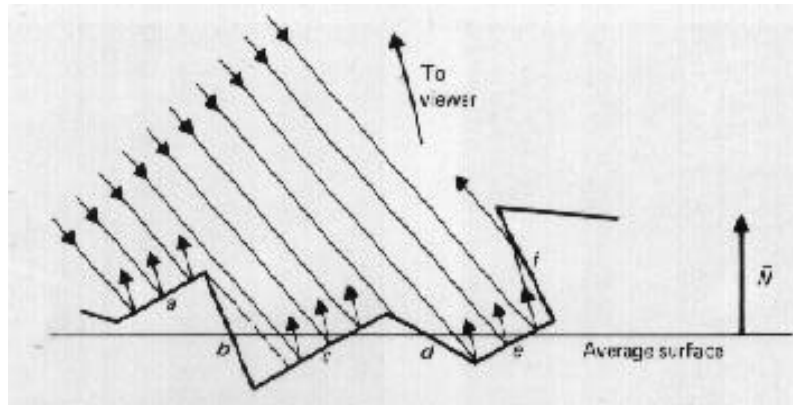


$N = 10$



$N = 50$

# 4. Modèles de micro-facettes



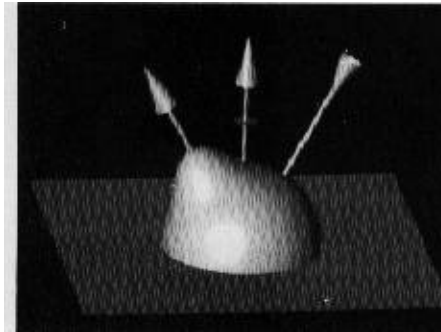
- **Modèle de Davies (1954) :**

Pas d'interaction entre les micro-facettes + distribution des hauteurs selon une loi normale

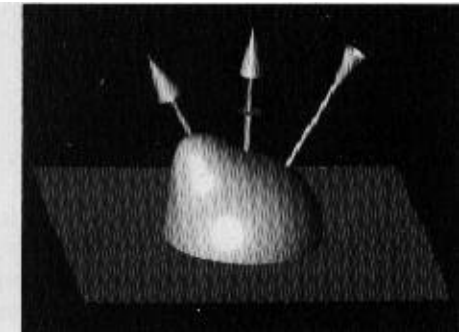
- **Modèle de Torrance & Sparrow (1966) :**

Facettes "en V", réfléchissantes, orientées de manière aléatoire selon une loi de Beckmann

= 30°

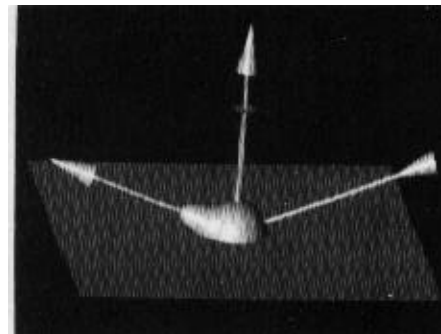


Phong

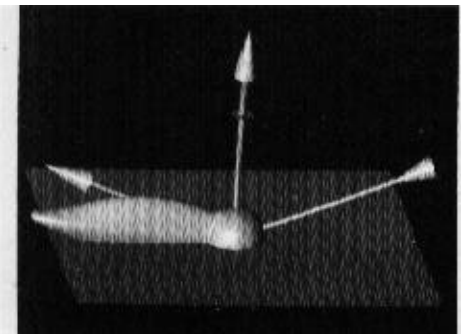


Torrance-Sparrow

= 70°



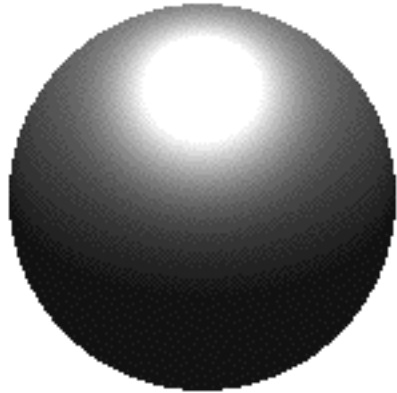
Phong



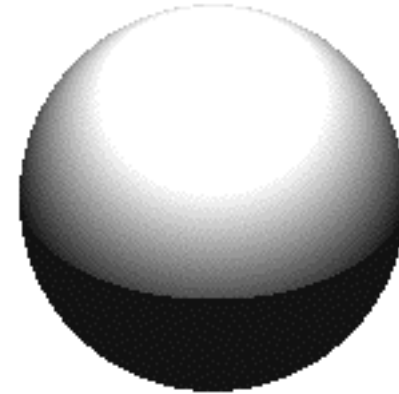
Torrance-Sparrow

- Le modèle de POV

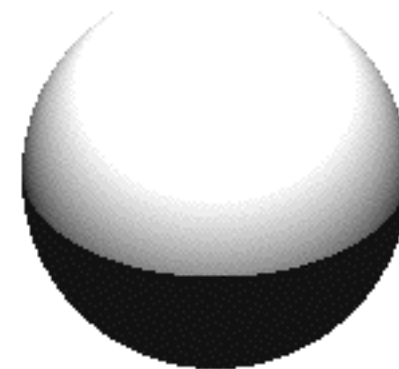
```
finish  
{specular 1 roughness 0.1}
```



**$K_s = 1$  et  $Rough = 0.1$**



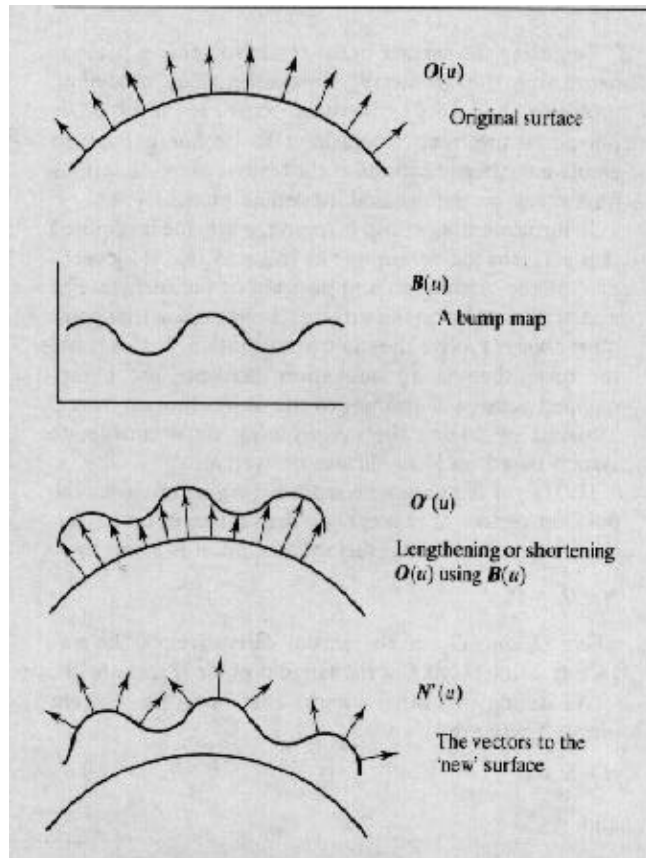
**$K_s = 1$  et  $Rough = 0.5$**



**$K_s = 1$  et  $Rough = 1.0$**

# Le "bump mapping"

- Perturber la normale à la surface  
=> Astuce pour donner un relief aux objets.



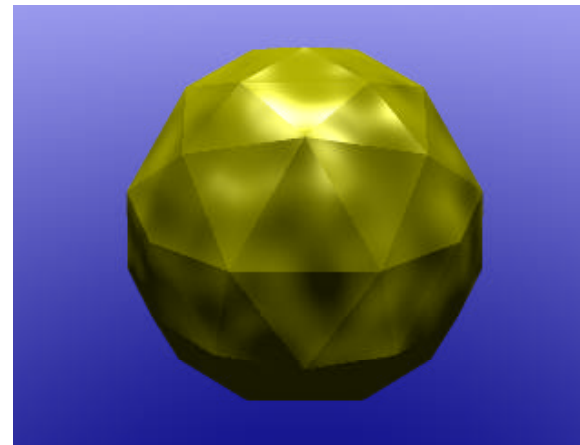
[WATT] p. 200

- Plusieurs techniques :
  - Le plus simple : perturbation aléatoire
  - Le plus général : un tableau indiquant pour chaque point de la surface comment se fait la perturbation

- Exemple en POV

```
texture { normal { bumps profondeur scale  
largeur } }
```

=> nombreuses options très spectaculaires



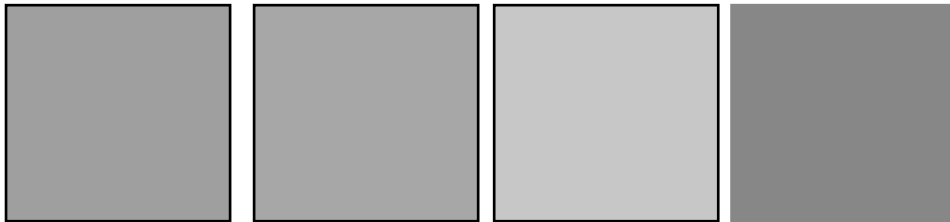
# 5. Textures

- Les algorithmes précédents ne retirent pas complètement le caractère "artificiel" du coloriage.

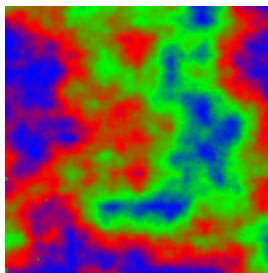
Une solution souvent employée : le plaqué de textures sur les faces

- Divers types de textures :

- "géométriques" => forme répétitive



- "synthétiques" => génération aléatoire



- "réalistes" => photographie numérisée



- On se ramène toujours à un tableau de points (de petite taille)



# Un premier essai de synthèse

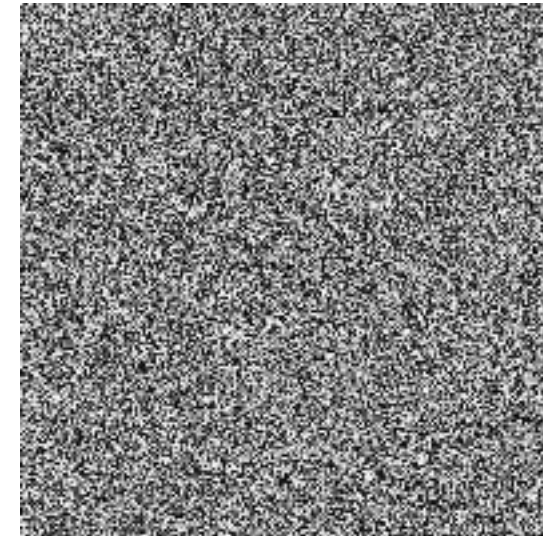
Résultat :

```
int Hasard()
{
    return (int)(255*Uniform());
}

main()
{
    int i,j;

    s1=11;s2=13;
    /*--- remplissage du pixmap ---*/
    for (i=0;i<SIZE;i++)
        for (j=0;j<SIZE;j++)
            Pix[i][j]=Hasard();

    /*--- affichage ---*/
    printf("P2\n%d %d\n255\n",SIZE,SIZE);
    for (i=0;i<SIZE;i++)
        for (j=0;j<SIZE;j++)
        {
            printf("%d ",Pix[i][j]);
            if ((j%30)==0) printf("\n");
        }
}
```

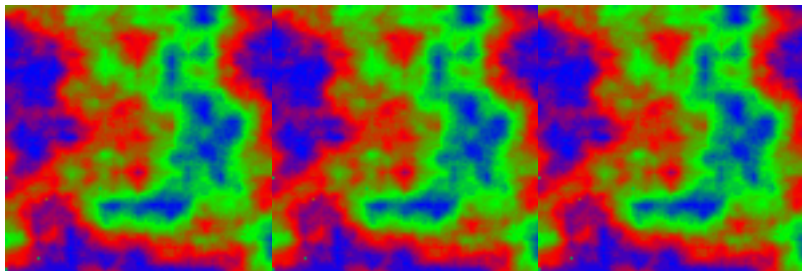
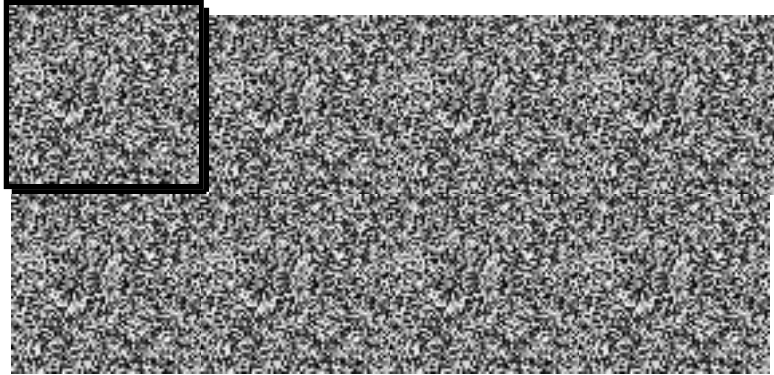


200x200 pixels

256 niveaux de gris

Ce programme fabrique un fichier image à la norme PGM (fichier textuel, à visualiser avec xv par exemple - ou converti avec pnmto gif)

**Problème : s'en servir ! La texture sera répétée sur toute la surface de l'objet 3D :**



**Bonnes propriétés du bruit à synthétiser:**

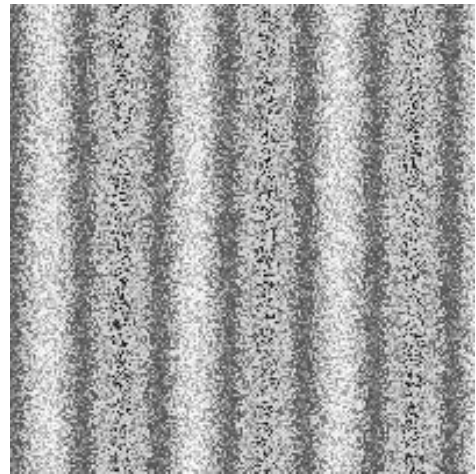
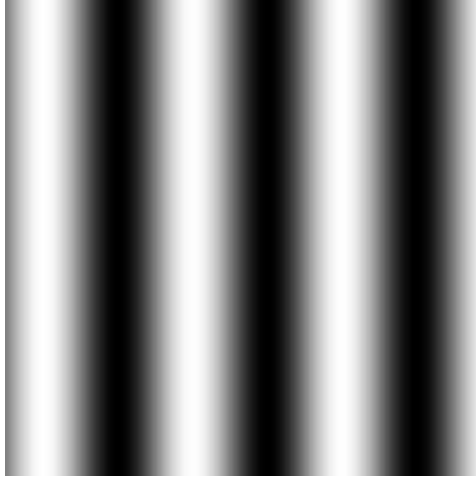
- invariance statistique en cas de rotation et de translation
- peut être échantillonné à une fréquence basse (pour éviter l'aliasage)

**Comment générer une texture "réaliste" ?**

- texture minérale : marbre, granite - métallique
- textures pour les phénomènes turbulents (flammes)
- texture pour la granulosité : peau d'une orange
- texture pour les couleurs animales : léopard, coquillage

# Exemple du marbre

Idée : utiliser le bruit pour perturber une structure colorée simple :



```
int marbre(x)
float x;
{
  x=2.0*(x+1)/3.0 -1.0;
  return (int)(127.5*(x+1.0));
}
```

```
main()
{
  int i,j;

  s1=11;s2=13;
  /*--- remplissage du pixmap ---*/
  for (i=0;i<SIZE;i++)
    for (j=0;j<SIZE;j++)
      Pix[i][j]=marbre(sin(0.1*j)+Uniform());

  /*--- affichage ---*/
  printf("P2\n%d %d\n255\n",SIZE,SIZE);
  for (i=0;i<SIZE;i++)
    for (j=0;j<SIZE;j++)
      {
        printf("%d ",Pix[i][j]);
        if (j%80) printf("\n");
      }
}
```

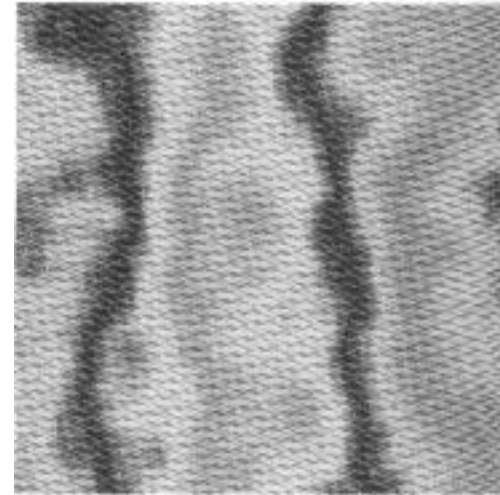
- **Algorithme de Perlin :**

Voir Comp. Graph. 23(3) 253-62, 1989

Utilise une fonction spline pour créer l'image initiale (ici, avec modif. sous xv du précédent) :



$$\text{marbre}(x) = \text{couleur}(\sin(x + \text{turbulence}(x)))$$



=> écrire l'algorithme complet d'après Watt & Watt.

# Projection de la texture

- Textures "géométriques" :
  - la texture est décrite par une matrice P de taille 16x16
  - Pour chaque pixel (x,y) du polygone, la couleur de base est déterminée par  $P[x \bmod 16, y \bmod 16]$
- les autres : problème de projection

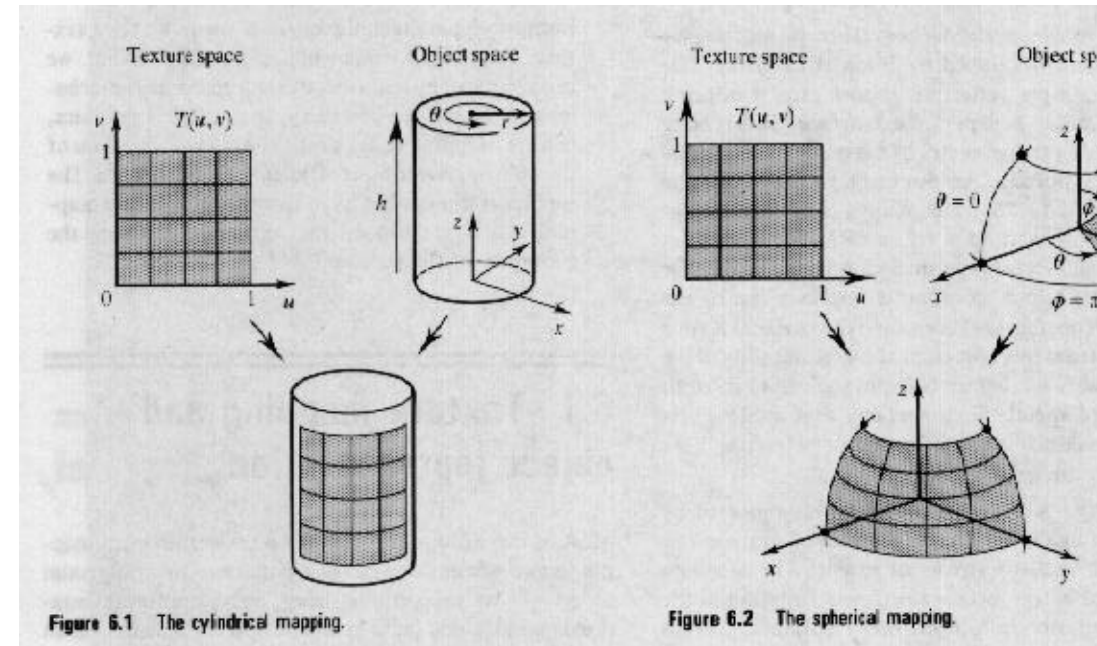
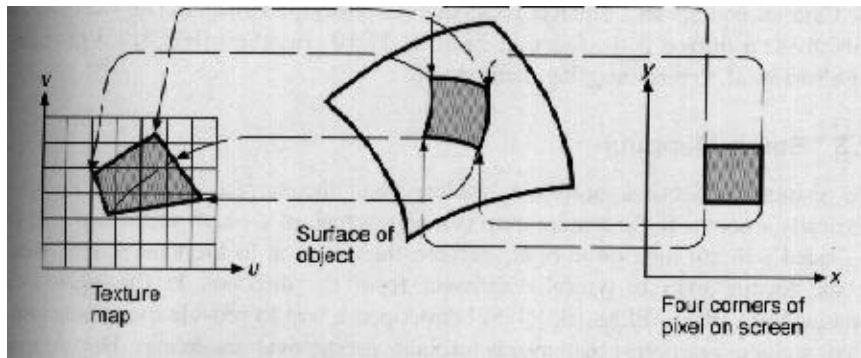


Figure 6.1 The cylindrical mapping.

Figure 6.2 The spherical mapping.

[WATT] p. 180



[FOLEY] p. 743

P.S. Heckbert "Survey of texture mapping"  
CG&A Novembre 1986, pp. 56-67.